



## طراحی کنترل مقاوم $H_{\infty}$ به منظور پایدارسازی کشتی هوایی استراتوسفری در حضور نامعینی و اغتشاش خارجی

صدرا برجی منفرد<sup>1</sup>، اصغر ابراهیمی<sup>2\*</sup>، اشکان پارسا<sup>1</sup>

1- دانشجوی کارشناسی ارشد، مهندسی هوافضا، دانشگاه تهران، تهران

2- دانشیار، مهندسی هوافضا، دانشگاه مالک اشتر، تهران

\*تهران، صندوق پستی 14395-1375 ebrahimi@mut.ac.ir

### چکیده

کشتی هوایی نوعی وسیله هوایی است که در سالیان اخیر تحقیقات علمی و توسعه بر روی کنترل آن، رشد قابل توجهی داشته است. کشتی هوایی استراتوسفر در خانواده پرنده‌های سبکتر از هوا قرار می‌گیرد. این وسیله به گونه‌ای طراحی می‌شود که توانایی عملکرد خودکار و بدون سرسینی و با کنترل از راه دور در ارتفاع تقریبی 22 کیلومتری از زمین را داشته باشد. در این مقاله به منظور پایدارسازی و ردیابی مسیر، رویکرد کنترل مقاوم  $H_{\infty}$  غیر خطی به دلیل عملکرد قابل قبول در حضور اغتشاش و نامعینی، توسعه داده شده است. ابتدا مدل دینامیکی کشتی هوایی و نمایش معادلات توصیفی به منظور طراحی کنترل مقاوم  $H_{\infty}$  غیر خطی معرفی شده و سپس کنترلر مقاوم  $H_{\infty}$  غیر خطی طراحی شده است. این کنترلر بواسطه در نظر گرفتن انتگرال خطای موقعیت، زمانی که اغتشاش خارجی اعمال شود، منجر به صفرشدن بردار خطای شود. به همین منظور کنترل مقاوم محاسبه شده و عملکرد مناسبی در رد اغتشاش خارجی و نامعینی پارامتری دارد. همچنین اغتشاش خارجی به عنوان نیرو و گشتاور آبیودینامیکی در نظر گرفته شده است. همچنین جهت ارزیابی، اعتبارسنجی و بررسی صحت الگوریتم کنترلی طراحی شده مقایسه‌ای با تکنیک کنترل تطبیقی انجام شده است. نتایج شیوه سازی نشان می‌دهد که سیستم کنترلی طراحی شده عملکرد مناسبی در پایدارسازی و ردیابی مسیر مطلوب در حضور اغتشاش خارجی و نامعینی پارامتری دارد.

### اطلاعات مقاله

مقاله پژوهشی کامل

دریافت: 14 آذر 1395

پذیرش: 02 اسفند 1395

ارائه در سایت: 21 اسفند 1395

کلیه وارگذاری:

کشتی هوایی استراتوسفر

پایدارسازی

کنترل  $H_{\infty}$  غیرخطی

اغتشاش خارجی

نامعینی

## Design of Robust $H_{\infty}$ Control for Stabilizing of Stratospheric Airship with Parametric Uncertainty and External Disturbance

Sadra Borji Monfared<sup>1</sup>, Asghar Ebrahimi<sup>2\*</sup>, Ashkan Parsa<sup>1</sup>

1-Department of Aerospace Engineering, University of Tehran, Tehran, Iran

2- School of Aerospace Engineering, University of Malek-Ashtar, Tehran, Iran

\* P.O.B. 14395-1375, Tehran, Iran, ebrahimi@mut.ac.ir

### ARTICLE INFORMATION

Original Research Paper

Received 04 December 2016

Accepted 20 February 2017

Available Online 11 March 2017

**Keywords:**  
Stratospheric Airship  
Stabilizing  
Nonlinear  $H_{\infty}$  Control  
External Disturbance  
Uncertainty

### ABSTRACT

Airship is a kind of aerial vehicle that has been a significant development of scientific research in recent years. Furthermore, stratospheric airship is in a group of lighter-than-air aerial vehicles. This device is to have the ability of unmanned autonomous operation with remote control at a height of 22 kilometers from Earth. With the development of control systems, there are still major challenges in this area. In this paper, for stabilizing and trajectory tracking of stratospheric airship, nonlinear  $H_{\infty}$  method has been developed. At first, the dynamic model of an airship is introduced and descriptive equations are presented in an appropriate state-space in order to design a controller based on nonlinear  $H_{\infty}$  method. Then the nonlinear  $H_{\infty}$  controller is designed. In the controller, the integral of the position error is considered, allowing the achievement of a null steady-state error when sustained disturbances are acting on the system. The external disturbances are considered as aerodynamic forces and torque. This strategy is designed for robustness against external disturbance. The results show decrease in steady error and stabilizing systems against external disturbance and uncertainties. Also, for robustness of designed control, comparison is done with adaptive control. Simulation results in the presence of aerodynamic disturbances, and parametric and structural uncertainties are presented to corroborate the effectiveness and the robustness of the proposed strategy.

داده‌های آماری نشان می‌دهد که در ارتفاع 20 تا 22 کیلومتری که مأموریت این پرنده است، سرعت باد در این لایه از اتمسفر پایین می‌باشد. در این ارتفاع کشتی هوایی نسبت به سایر پرنده‌های هوایی از جمله ماهواره برتری دارد به همین خاطر در طی سال‌های اخیر محققان تلاش‌های فراوانی برای توسعه این نوع پرنده‌ها در این لایه داشته‌اند. از جمله مزایای کشتی هوایی

کشتی هوایی نوعی وسیله هوایی بوده که امروزه کاربردهای گسترده‌ای پیدا کرده است. این گونه پرنده‌ها به عنوان یک وسیله پروازی سرعت کم، پتانسیل زیادی در کاربردهای جستجو، جمع آوری اطلاعات مورد نیاز در سیستم‌های جغرافیایی را دارا هستند. استراتوسفر یک لایه‌ی آرام در اتمسفر می‌باشد.

### 1- مقدمه

#### Please cite this article using:

S. Borji Monfared, A. Ebrahimi, A. Parsa, Design of Robust  $H_{\infty}$  Control for Stabilizing of Stratospheric Airship with Parametric Uncertainty and External Disturbance, *Modares Mechanical Engineering*, Vol. 17, No. 3, pp. 216-226, 2017 (in Persian)

برای ارجاع به این مقاله از عبارت ذیل استفاده نمایید:

هوایی استراتوسفر ارائه شده و با وجود فرض نامعینی در پارامترهای اینرسی ابتدا روش کنترل دینامیک معکوس تطبیقی با استفاده از خاصیت پارامتری سازی خطی و قانون به روز رسانی گردیدن پارامترها به صورت برخط تخمین زده شدند. همچنین طراحی الگوریتم حرکت بر اساس پسیو بودن، قانون کنترل و معادلهای غیرخطی حرکت استنتاج و روش‌های کنترل تطبیقی و مقاوم بر اساس پسیو بودن برای کنترل کشتی هوایی به کارگرفته شده است. در [9] از تکنیک مدل‌لغزشی برای ریدیابی مسیر یک کشتی هوایی استفاده شده است. استراتژی ریدیابی مسیر خطرا ریدیابی مسیر را با توجه به مسیر مرجع داده شده به حداقل رسانده است. همچنین پایداری سیستم با توجه به سرعت‌های مختلف باد بررسی شده است. در [10] روش کنترلی پسگام برای پایدارسازی یک کشتی هوایی معرفی شده که در برابر دینامیک مدل نشده مقاوم است. در [11] از ترکیب کنترل پسگام و کنترل تطبیقی فازی برای پایدارسازی یک کشتی هوایی استراتوسفریک استفاده شده است، اما این رویکرد فقط بر مبنای مقاوم سازی در برابر نامعینی بنا نهاده شده است. در [12] از کنترل مقاوم  $H_{\infty}$  خطی مبتنی بر روش نابرابری ماتریس خطی برای کنترل جهت گیری کشتی هوایی مستقل در حضور نامعینی توسعه داده شده است. با این حال تحقیقات برای حالت پایدار سازی در ارتفاع مشخص هنوز هم در حال پیشرفت است.

از طرفی در اکثر پژوهش‌های فوق اغتشاش خارجی و نامعینی پارامتری در نظر گرفته نشده، به همین منظور در این پژوهش مسئله پایدارسازی و ریدیابی مسیر کشتی هوایی استراتوسفر در حضور اغتشاش خارجی و نامعینی بیان شده است. کنترل مقاوم  $H_{\infty}$  غیرخطی یکی از استراتژی‌های طراحی سیستم‌های کنترل است که در آن بر روی پایداری و مقاوم بودن سیستم کنترلی در مقابل اغتشاش تاکید می‌شود و هدف از طراحی، ایجاد یک سیستم کنترلی است که تغییرات در شرایط سیستم، کمترین اثر در خروجی را داشته باشد. به عبارت دیگر، افزایش قابلیت اطمینان سیستم، مهم‌ترین هدفی است که در طراحی کنترل مقاوم مد نظر قرار می‌گیرد. به ویژه، تامین عملکرد مناسب و یا پایداری در حضور عوامل نامعین، دینامیک‌های مدل نشده و یا عوامل مزاحم مانند اغتشاش و ورودی‌های ناخواسته، از جمله اصلی ترین اهداف در طراحی سیستم‌های کنترل مقاوم است. همچنین مهم‌ترین مشکل در کنترل  $H_{\infty}$  غیر خطی حل معادله هم‌لیتوون ژاکوبی می‌باشد که در این مورد با استفاده از تئوری بازی جواب تحلیلی برای کشتی هوایی ارائه شده است.

در بخش 2 مدل‌سازی کشتی هوایی بررسی شده است. در بخش 3 طراحی کنترل  $H_{\infty}$  غیر خطی انجام شده است. بخش 4 نتایج شبیه سازی در حضور اغتشاش خارجی و نامعینی ارائه شده است، همچنین مقایسه‌ای با رویکرد کنترل تطبیقی نیز انجام شده است. در بخش 5 به جمع‌بندی و نتیجه‌گیری پژوهش پرداخته شده است.

## 2- مدل دینامیکی کشتی هوایی

در این بخش به ارائه مدل دینامیکی کشتی هوایی استراتوسفر پرداخته می‌شود. مدل کشتی هوایی دارای حجمی بیضی گون است و نیروی شناوری آن توسط هلیوم تأمین می‌شود.

### 2-1- شرح عملکرد

اجزای تشکیل دهنده این پرنده که ساختار متقارن دارند عبارتند از: ملخ‌ها، سلول‌های تعذیه خورشیدی، پره‌های دم و حمل بار. سیستم کنترل پرواز و

استراتوسفری در ارتفاع بالا می‌توان به ظرفیت حمل بار بالا، برد علمیاتی بالا، توانایی پرواز ثابت، مصرف سوخت کم و هزینه کم تولید اشاره کرد. معایب عمدۀ این پرنده نیز قدرت مانور پایین و سرعت پایین مانور می‌باشد. برخی از مهم‌ترین دلایل استفاده از کشتی‌های هوایی بدون سرنشین عبارتند از: عدم سانحه‌ای سنگین به جهت سبکتر از هوا و عمود پرواز بودن، این پرنده نیاز به باند پروازی ندارد و می‌تواند در فضای محدود نشست و برخاست داشته باشد و نسبت هزینه به وزن و هزینه به مداومت پرواز در کشتی هوایی نسبت به سایر پرنده‌ها بسیار پایین تر است [1].

به دلیل استفاده در ارتفاع بالا، عمدۀ ترین کاربرد کشتی هوایی اهداف ارتباطی از راه دور می‌باشد. همچنین بسیاری از مطالعات مربوط به مانیتورینگ متغیرهای محلی احتیاج به سرعت کم، ارتفاع پروازی بالا در کنار توانایی پرواز ایستاد، عدم تأثیر نامطلوب روی محیط و مداومت پروازی بالا دارند. مهم‌ترین مزیت کشتی‌های هوایی در مانیتورینگ متغیرهای محلی این است که نیروی برا در آن ها آیروواساتیکی است به همین سبب نیازی به مصرف انرژی زیاد برای پرواز نیست. این موضوع این پرنده‌ها را به عنوان انتخاب اول در این گونه کاربری‌ها مطرح می‌سازد. از کاربردهای دیگر آن می‌توان به پوشش ناویبری وسیع، نظارت محیط زیست و اکتشاف علمی اشاره کرد [2].

از اهداف کشتی هوایی مستقل، حفظ موقعیت بوده که بوسیله یک سیستم کنترل و ناویبری میسر می‌شود. اصولاً دو رویکرد برای سیستم یک کشتی هوایی می‌توان در نظر گرفت. تئوری کنترل خطی براساس مدل خطی سازی شده دینامیکی که به بررسی مشخصات حلقه بسته می‌برد. یکی از مهم‌ترین نتایج روش خطی، جداسازی دو حرکت مستقل طولی و عرضی می‌باشد. در مقابل، رویکرد کنترل غیرخطی نسبت به روش خطی به سبب ویژگی‌ها و احتمالاً عملکرد بهتر آن مورد استقبال بیشتری واقع شده است. مهم‌ترین مיעضل در این رویکرد تغییرات ناگهانی دینامیک در سرعت‌های پایین و بالا می‌باشد. کنترل دینامیک معکوس، پسگام انتگرالی و مود لغزشی از جمله روش‌های غیر خطی می‌باشد.

حفظ موقعیت در پرنده یک ویژگی منحصر به فرد کشتی هوایی استراتوسفر در مقایسه با هواپیماهای بال ثابت می‌باشد. عمدۀ ترین مشکل کشتی هوایی مستقل حفظ موقعیت یا توانایی ثابت شدن در موقعیتی مشخص در حضور اغتشاش خارجی می‌باشد. برای همین منظور محققان توجه خاصی به مسئله داشته‌اند. در [3] روش کنترلی بازخورد برای یک کشتی هوایی سنگین چهار رتore برای حالت پروازی ایستاده شده است. در [4] استراتژی کنترلی بر اساس تصویر برای کشتی هوایی توسعه داده شده و همچنین یک کنترل تناسبی-انتگرالی-مشتقی برای مسئله حفظ موقعیت ارائه شده است اما این کنترلر عملکرد قابل قبولی در شرایط کاری مختلف نداشت. در [5] رویکرد کنترلی شکل‌دهی حلقه برای کشتی هوایی ارتفاع بالا و تحلیل عملکرد حفظ موقعیت توسعه داده شده است. این پژوهش به دلیل استفاده از مدل خطی، اثرات غیر خطی و کوبینگ بین حرکات طولی-عرضی را نادیده گرفته است. در [6] قانون کنترل تطبیقی براساس تئوری پایداری ورودی خروجی همراه با تخمین برخط پارامترهای اینرسی برای کشتی هوایی استراتوسفر ارائه شده است، در حالیکه مقداری تخمین زده شده به مقادیر واقعی خود همگرا نشده بودند. در [7] از یک قانون کنترل غیر خطی تطبیقی برای ریدیابی مسیر یک کشتی هوایی استراتوسفر در حضور نامعینی‌های پارامتری استفاده شده و همچنین پایداری سیستم حلقه بسته مورد بررسی قرار گرفته است. در [8] کنترل تطبیقی و مقاوم برای کشتی

$$\dot{\eta} = J(\eta)V \quad (1)$$

زیرنوشته می شود:

که ماتریس  $J(\eta)$  بصورت زیر تعریف می شود:

$$J(\eta) = \begin{bmatrix} J_1 & 0_{3 \times 3} \\ 0_{3 \times 3} & J_2 \end{bmatrix} \quad (2)$$

عبارت  $J_1$  و  $J_2$  به ترتیب ماتریس چرخش از چارچوب بدنه به چارچوب

اینرسی و ماتریس تبدیل از سرعت زاویه‌ای به سرعت زاویه وضعیت می باشد. دو

ماتریس فوق به صورت زیر بیان می شوند:

$$J_1 = \begin{bmatrix} c\psi c\theta & c\psi s\theta s\phi & c\psi s\theta c\phi + s\psi s\phi \\ s\psi c\theta & s\psi s\theta s\phi + c\psi c\phi & s\psi s\theta c\phi - c\psi s\phi \\ -s\theta & c\theta s\phi & c\theta s\phi \end{bmatrix}$$

$$J_2 = \begin{bmatrix} 1 & \cos\phi & -\sin\phi \\ 0 & \sin\phi \sec\theta & \cos\phi \sec\theta \\ 0 & \sin\phi \tan\theta & \cos\phi \tan\theta \end{bmatrix} \quad (3)$$

که عبارات  $c = \cos(\cdot)$  و  $s = \sin(\cdot)$  می باشد [15].

در نهایت معادله دینامیکی شش درجه آزادی کشتی هوایی به صورت زیر بیان می شود [17,16]:

$$M\ddot{V} + C(V)V + D(V)V + G(\eta) = \tau \quad (4)$$

$M$  ماتریس اینرسی،  $C(V)$  ماتریس کربولیس و سانتریفیوژ،  $D(V)$  ماتریس

دمپ،  $G(\eta)$  بردار گرانشی و نیرو و گشتاور بیوانسی و درنهایت  $\tau$  نیرو و

گشتاور کنترلی می باشند [14].

### 2-3- مدل کشتی هوایی

برای مدل سازی دینامیکی برای حفظ موقعیت در ارتفاع خاص و تبدیل معادلات شش درجه آزادی به معادلات در صفحه افقی فرضیات زیر در نظر گرفته می شود:

1. زمانی که کشتی هوایی در ارتفاع ثابت حرکت می کند متغیرهای زوایای پیچ و رول بسیار کوچک می باشند بنابراین تاثیر آنها در حرکت روی صفحه افقی ناچیز می باشند در نتیجه دینامیک مورد نظر با حرکات پیچ و یاو قابل صرف نظر می باشد.

2. کشتی هوایی را در حالت خنثی در نظر می گیریم بنابراین نیروی گرانشی با نیروی بیوانسی برابر می باشد. در نتیجه نیروهای گرانشی و بیوانسی هیچ تاثیری در حرکات صفحه افقی ندارند [18].

با فرضیات فوق معادلات دینامیکی از شش درجه آزادی به سه درجه آزادی تقلیل می یابند و به صورت زیر بیان می شوند:

$$M\ddot{V} + C(V)V + D(V)V = \tau \quad (5)$$

$$\dot{\eta} = J(\eta)V \quad (6)$$

که

$$M = \begin{bmatrix} m - X_u & 0 & 0 \\ 0 & m - Y_v & 0 \\ 0 & 0 & I_{33} - N_r \end{bmatrix}$$

$$C(V) = \begin{bmatrix} 0 & 0 & -(m - Y_v)v \\ 0 & 0 & (m - X_u)u \\ (m - Y_v)v & -(m - X_u)u & I_{33} - N_r \end{bmatrix}$$

$$D(V) = \begin{bmatrix} -X_u & 0 & 0 \\ 0 & -Y_v & 0 \\ 0 & 0 & -N_r \end{bmatrix}$$

$$J(\Omega) = \begin{bmatrix} \cos\psi & -\sin\psi & 0 \\ \sin\psi & \cos\psi & 0 \\ 0 & 0 & 1 \end{bmatrix} \quad (7)$$

که جرم  $m$  ناچالص،  $X_u$ ،  $Y_v$ ،  $N_r$  پارامترهای اینرسی افزوده شده

$V = [x, y, \psi]^T$ ،  $\eta = [x, y, \psi]^T$  موقعیت و جهتگیری در چارچوب اینرسی،

$\tau = [\tau_u, \tau_v, \tau_r]^T$  نیروی طولی سنتی

و گشتاور یاو می باشند [19].

سیستم قدرت در زیر بالن نصب شده است. سطوح کنترل آیرودینامیکی، سکانها و بالابرها در زیر بدنه به صورت ثابت نصب شده‌اند. جایه جایی سکان منجر به ایجاد حرکات یاو و جایه جایی بالابر منجر به ایجاد حرکات پیچ می شود. بردارهای تراست ملحه‌ها در هردو طرف بدنه ثابت می باشند که نیروی اصلی حرکت را تولید می کنند (شکل 1) [7].

### 2-2- سینماتیک و دینامیک

حرکت یک کشتی هوایی با معادلات سینماتیکی و دینامیکی شش درجه آزادی در فضا بیان می شود. مختصات سیستم در شکل 2 نشان داده شده است. چارچوب  $(X_e, Y_e, Z_e) = O_e$  به صورت ثابت در جهت سطح زمین قرار گرفته است. محور  $X$  که به سمت شمال،  $Y$  به سمت غرب و محور  $Z$  به سمت پایین می باشد. همچنین چارچوب  $(x_b, y_b, z_b) = O_b$  بدنه بوده که مبدأ آن در مرکز حجم کشتی هوایی قرار دارد. با توجه به چارچوب‌های ذکر شده مختصات تعیین یافته کشتی هوایی با  $P = [P, \Omega]^T$  تعیف می شود که  $\Omega = [\phi, \theta, \psi]^T$  موقعيت نسبت به چارچوب زمین و  $P = [x, y, z]^T$  زوایای وضعیت رول، پیچ و یاو می باشد. سرعت‌های تعیین یافته کشتی هوایی به صورت  $v = [u, v, w]^T$  است که  $v = [v, \omega]^T$  سرعت‌های خطي و  $w = [p, q, r]^T$  سرعت‌های زاویه‌ای در چارچوب بدنه می باشند [14].

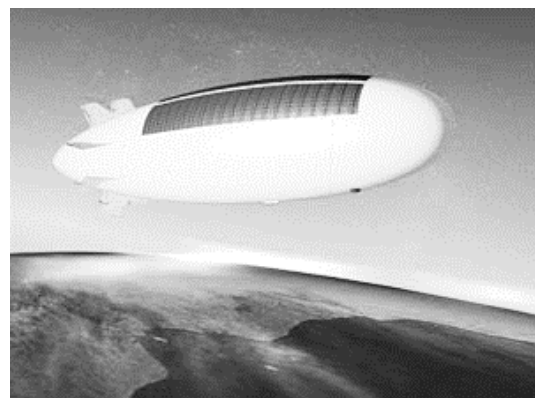


Fig.1 An autonomous airship of stratospheric [13]

شکل 1 کشتی هوایی استراتوسفری مستقل [13]

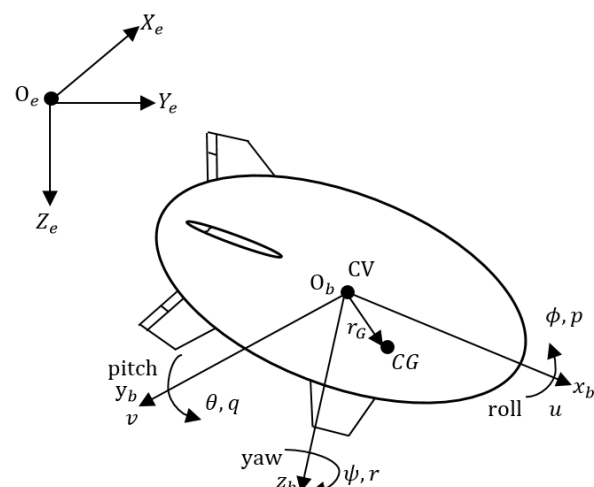


Fig. 2 Coordinate systems of an airship platform.

شکل 2 سیستم مختصات یک کشتی هوایی  
با در نظر گرفتن این متغیرها معادله سینماتیک شش درجه آزادی به صورت

باشد و  $[z \in [0, T] \rightarrow \mathbb{R}^p]$  و  $t \in [0, T]$  باشد، لذا معادله فوق را به صورت زیر می-

باشد [20]:

$$\int_0^T \|z\|_2^2 dt \leq \gamma^2 \int_0^T \|\omega\|_2^2 dt dt \quad (13)$$

عبارت سمت چپ نامساوی را می‌توان به صورت زیر در نظر گرفت:

$$\|z\|_2^2 = z^T z = [h^T(x) \ u^T] W^T W \begin{bmatrix} h(x) \\ u \end{bmatrix} \quad (14)$$

که ماتریس متقارن مثبت معین  $W^T W$  به صورت زیر قابل بیان می‌باشد:

$$W^T W = \begin{bmatrix} Q & S \\ S & R \end{bmatrix} \quad (15)$$

که  $Q$  و  $R$  ماتریس مثبت معینی می‌باشند.

همیلتونین در رابطه با تعریف (13) به صورت (16) بیان می‌شود:

$$H(x, p, \omega, u) = p^T(f(x) + g_1(x)\omega + g_2(x)u) + \frac{1}{2}(\|h(x) + u(x)\|^2) - \gamma^2\|x\|^2 \quad (16)$$

در مقاله [21] نشان داده شده است که اگر تابع هموار و مثبت  $(x)$  به صورت محلی در همسایگی مبدا در  $\mathbb{R}^n$  وجود داشته باشد باید معادله (17) را ارضاء کند:

$$H(x, V_x^T) \stackrel{\text{def}}{=} H(x, V_x^T, \alpha_1(x, V_x^T), \alpha_2(x, V_x^T)) \quad (17)$$

معادله همیلتون-ژاکوبی-بلمن-ایزاک به صورت معادله (18) تعریف می‌شود:

$$\begin{aligned} \frac{\partial V}{\partial t} + \frac{\partial^T V}{\partial x} f(x, t) + \frac{1}{2} \frac{\partial^T V}{\partial x} \left[ \frac{1}{\gamma^2} g_1(x, t) g_1^T(x, t) \right. \\ \left. - g_2(x, t) R^{-1} g_2^T(x, t) \right] \frac{\partial V}{\partial x} \\ - \frac{\partial^T V}{\partial x} g_2(x, t) R^{-1} S^T h(x) \\ + \frac{1}{2} h^T(x)(Q - SR^{-1}S^T)h(x) = 0 \end{aligned} \quad (18)$$

بنابراین با فرضیات فوق سیگنال کنترل بهینه  $(x, t)$  برای معادله (18) به صورت زیر استخراج می‌شود:

$$u^* = -R^{-1}(S^T h(x) + g_2^T(x, t)) \frac{\partial V(x, t)}{\partial x} \quad (19)$$

حال برای توسعه کنترل  $H_{\infty}$  غیر خطی برای کشتی هوایی استراتوسفر در معادله دینامیکی، نیرو و گشتاور اغتشاش خارجی را در نظر گرفته و بصورت بازنویسی می‌کنیم:

$$\tau_{\eta} = \tau_{\eta_a} + \tau_{\eta_d} \quad (20)$$

که  $\tau_{\eta_a}$  بردار نیرو و گشتاور اعمالی،  $\tau_{\eta_d}$  تاثیر نهایی مدل سازی سیستم و اغتشاش خارجی می‌باشد.

برای تجزیه و تحلیل قانون کنترلی ذکر شده ابتدا باید خطای ریدیابی را به صورت (21) تعریف کنیم:

$$\hat{x} = \begin{bmatrix} \dot{\eta} \\ \ddot{\eta} \\ \int \ddot{\eta} dt \end{bmatrix} = \begin{bmatrix} \dot{\eta} - \dot{\eta}^d \\ \eta - \eta^d \\ \int (\eta - \eta^d) dt \end{bmatrix} \quad (21)$$

که  $\eta$  و  $\eta^d$   $\dot{\eta} \in \mathbb{R}^n$  حالت مطلوب و سرعت متناظر می‌باشند. قابل ذکر است که عبارت‌های انتگرال شامل بردار خطای  $x$  می‌باشد. این عبارت اجازه بذست آوردن بردار خطای حالت پایدار پوچ را زمانی که اغتشاش ماندگار یا مداوم به سیستم اعمال می‌شود را می‌دهد. به همین جهت قانون کنترلی سیستم به صورت (22) می‌باشد [21]:

$$\tau_{\eta_a} = M_{\eta} \dot{\eta} + C_{\eta}(V) T \hat{x} + T_1^{-1} u \quad (22)$$

قانونی کنترلی به سه بخش تقسیم می‌شود: عبارت اول معادله (22)

اجزای تشکیل دهنده دینامیک سیستم را شامل می‌شود، بخش دوم شامل

بردار خطای  $\hat{x}$  و مشتق آن  $\dot{\hat{x}}$  می‌باشد. با فرض  $0 \equiv \tau_{\eta_d}$  این دو عبارت قادر

به ریدیابی کامل می‌باشد که بیانگر تلاش کنترل ضروری مورد نیاز برای انجام

وظیفه می‌باشد و در نهایت سومین عبارت که شامل بردار  $u$  می‌باشد، بیانگر

تلاش کنترلی اضافی مورد نیاز در مواجه با اغتشاش می‌باشد.

از آنجا که معادله (5) به صورت صریح تابعی از  $V$  می‌باشد، لذا معادله فوق باید تابعی از  $\eta$  شود، بنابراین در ابتدا معادله (5) را به صورت تابعی از  $\eta$  بدست می‌آوریم، برای این منظور از معادله (6) داریم:

$$V = J^{-1}(\eta) \dot{\eta} \quad (8)$$

با مشتق گیری از رابطه (8) داریم:

$$\dot{V} = \frac{\partial J^{-1}(\eta)}{\partial t} \dot{\eta} + J^{-1}(\eta) \ddot{\eta} \\ = J^{-1}(\eta) j(\eta) J^{-1}(\eta) \dot{\eta} + J^{-1}(\eta) \ddot{\eta} \quad (9)$$

با جایگذاری معادله (9) در (5) داریم:

$$\begin{aligned} MJ^{-1}(\eta) \dot{\eta} - MJ^{-1}(\eta) j(\eta) J^{-1}(\eta) \dot{\eta} \\ + C(V) J^{-1}(\eta) \dot{\eta} + D(V) J^{-1}(\eta) \dot{\eta} \\ = MJ^{-1}(\eta) \dot{\eta} \\ + [C(V) - MJ^{-1}(\eta) j(\eta)] J^{-1}(\eta) \dot{\eta} \\ + D(V) J^{-1}(\eta) \dot{\eta} = \tau \end{aligned} \quad (10)$$

با تعريف  $C_{\eta}(V) = [C(V) - MJ^{-1}(\eta) j(\eta)]$  و  $M_{\eta} = MJ^{-1}(\eta)$

$$M_{\eta} \dot{\eta} + C_{\eta}(V) \dot{\eta} + D(V) \dot{\eta} = \tau \quad (11)$$

برای سهولت در بخش طراحی کنترل عبارت  $\dot{\eta} + D(V) \dot{\eta}$  به صورت  $C_{\eta}(V) \dot{\eta} + D(V) \dot{\eta}$  در نظر گرفته می‌شود.

### 3- طراحی کنترل $H_{\infty}$ غیر خطی بوای پایدارسازی و ریدیابی مسیر

مسئله پایدارسازی و ریدیابی مسیر در گیرنده طراحی کنترلی است که به صورت مجانبی موقعیت و جهت گیری کشتی هوایی را پایدار کند و در مرحله بعد بتواند در برابر اغتشاش خارجی و نامعینی مقاوم باشد. برای همین منظور از کنترل مقاوم  $H_{\infty}$  غیر خطی استفاده می‌شود.

در این بخش قانون کنترلی مقاوم برای پایدارسازی و ریدیابی مسیر کشتی هوایی استراتوسفری در برابر اغتشاش خارجی و نامعینی طراحی می‌شود. هدف تئوری کنترل  $H_{\infty}$  غیر خطی کشتی هوایی استراتوسفر در شفت<sup>1</sup> ارائه شد، بدست آوردن نرخ محدود انرژی بین خطای سیگنال و انرژی اغتشاش سیگنال می‌باشد. جواب مسئله کنترل  $H_{\infty}$  غیرخطی وابسته به حل معادله همیلتون-ژاکوبی-بلمن-ایزاک<sup>2</sup> می‌باشد که با جایگزینی معادله ریکاتی در فرمول کنترل خطی  $H_{\infty}$  بدست می‌آید [20]. از جمله روش‌های حل این معادله روش عددی سر تیلور می‌باشد که جواب تقریبی را ارائه می‌کند، با این حال با استفاده از تئوری بازی برای این مورد یک جواب تحلیلی ارائه می‌شود.

یک سیستم غیر خطی چند ورودی چند خروجی به صورت معادله (12)

در نظر گرفته و داریم:

$$\dot{x} = f(x) + g_1(x)\omega + g_2(x)u \\ z = W \begin{bmatrix} h(x) \\ u \end{bmatrix} \quad (12)$$

که  $x \in \mathbb{R}^n$  متغیر دستگاه،  $u \in \mathbb{R}^{m_2}$  ورودی دستگاه،  $\omega \in \mathbb{R}^{m_1}$  متغیر ورودی خارجی و  $z \in \mathbb{R}^p$  متغیر پنالتی،  $h(x) \in \mathbb{R}^m$  متغیر هزینه و وزن ماتریس می‌باشد. اهداف کنترل، بدست آوردن پایداری سیستم حلقه بسته و کاهش اثر ورودی اغتشاش  $\omega$  به متغیر پنالتی  $z$  می‌باشد. در این مورد سیستم حلقه بسته پایدار است و ضرب میرای اغتشاش نیز بصورت زیر بدست می‌آید: انتخاب یک مقدار مثبت  $\gamma > 0$ ، اگر در همسایگی  $u$  در نقطه  $x = 0$  به ازای هر  $T > 0$  وجود داشته باشد، به طوری که تابع  $\rightarrow 0$ :  $x: [0, T] \rightarrow \mathbb{R}^{m_1}$  به صورت تکه‌ای پیوسته باشد، آنگاه سیگنال‌های خارجی به صورت محلی بوسیله  $\gamma$  ضعیف می‌شوند، همچنین اگر عبارت  $x$  قابل اندازه‌گیری

<sup>1</sup> Van der schaft

<sup>2</sup> Hamilton-Jacobi-Bellman-Isaacs

برای محاسبه وزن ماتریس  $W^T W$  داریم:

$$\begin{aligned} Q_1 &= \omega_1^2 I, \quad Q_2 = \omega_2^2 I, \quad Q_3 = \omega_3^2 I, \quad R = \omega_u^2 I \\ Q_{12} &= Q_{13} = Q_{23} = 0, \quad S_1 = S_2 = S_3 = 0 \end{aligned} \quad (32)$$

با در نظر گرفتن ضرایب، ماتریس مشتق زمانی، بردار خطای موقعیت و سرعت‌های متغیر با زمان دارد.

$$\begin{aligned} K_D &= T_1^{-1}(T_2 + M(\eta)^{-1}C_\eta(V)T_1 + M(\eta)^{-1}R^{-1}(S_1^T + T_1)) \\ K_P &= T_1^{-1}(T_3 + M(\eta)^{-1}C_\eta(V)T_2 + M(\eta)^{-1}R^{-1}(S_2^T + T_2)) \\ K_I &= T_1^{-1}(M(\eta)^{-1}C_\eta(V)T_3 + M(\eta)^{-1}R^{-1}(S_3^T + T_3)) \end{aligned} \quad (33)$$

مقادیر عبارات تحلیلی بهره‌ها به صورت (34) بیان می‌شود که شیوه بهره‌های کنترل تناسبی، انتگرالی، مشتقی<sup>۱</sup> می‌باشد.

$$\begin{aligned} K_D &= \frac{\sqrt{\omega_2^2 + 2\omega_1\omega_3}}{\omega_1} I + J(\eta)^{-1}(C(\eta, \dot{\eta}) + \frac{1}{\omega_u^2}I) \\ K_P &= \frac{\omega_3}{\omega_1} + \frac{\sqrt{\omega_2^2 + 2\omega_1\omega_3}}{\omega_1} J(\eta)^{-1}(C(\eta, \dot{\eta}) + \frac{1}{\omega_u^2}I) \\ K_I &= \frac{\omega_3}{\omega_1} J(\eta)^{-1}(C(\eta, \dot{\eta}) + \frac{1}{\omega_u^2}I) \end{aligned} \quad (34)$$

این عبارات یک ویژگی مهم دارند، که آنها به پارامتر  $\gamma$  بستگی ندارند. بنابراین، یک عبارت جبری برای محاسبه راه حل کلی بهینه برای این مورد خاص به دست آمده است.

#### 4- شبیه سازی و نتایج

برای نشان دادن درستی راه حل پیشنهادی از شبیه سازی رایانه‌ای استفاده شده است. شبیه سازی در حضور اغتشاشات صورت پذیرفته است.

#### 4-1-4- پایدارسازی و ردیابی مسیر کشتی هوایی

حالات مطلوب برای دو حالت پایدارسازی در ارتفاع 22 کیلومتری و ردیابی مسیر مطلوب در آن ارتفاع با توجه به ماموریت کشتی هوایی استراتوسفری،  $\eta_{d_1} = [x_d, y_d, \psi_d]^T = [400(m), 400(m), \pi/4(\text{rad})]^T$  به صورت  $T$  در نظر گرفته شده است.  $\psi_d = 1000 \sin(0.005t)$  و  $y_d = 1000 \cos(0.005t)$  و  $x_d = 1000 \cos(0.009t)$  می‌باشد، همچنین حالت اولیه به صورت  $\eta_0 = [x_0, y_0, \psi_0]^T$  در  $[0(m), 0(m), 0(\text{rad})]^T$  می‌باشد. همچنین بهره کنترل  $H_{\infty}$  غیرخطی با مقادیر  $(0.05, 0.5, 0.2, 0.7)$  تنظیم شده است. مقادیر پارامترها برای شبیه سازی نیز در جدول 1 ارائه شده است.

اغتشاش خارجی نیز که به عنوان نیرو و گشتاور آبرو دینامیکی در نظر گرفته شده است، مقدار  $A_x = 10N$  در ثانیه 180 در راستای  $X$ ، مقدار  $A_y = 10N$  در ثانیه 225 در راستای  $Y$  و مقدار  $A_\psi = 1N.m$  در ثانیه 5 در راستای زاویه  $\psi$  در نظر گرفته شده است. همچنین ابتدا مقدار 30٪ نامعینی در پارامتر جرم و ممان اینرسی و برای ارائه جزئیات بیشتر نامعینی‌های متفاوتی ایجاد شده است.

در این بخش به شبیه سازی عملکرد کنترل  $H_{\infty}$  غیر خطی در حضور اغتشاش خارجی و نامعینی پارامتری به منظور پایدارسازی کشتی هوایی استراتوسفری پرداخته شده است. قابل ذکر است، کشتی هوایی مزبور در

در معادله (22) ماتریس  $T$  به صورت (23) بیان می‌شود:

$$T = [T_1 \quad T_2 \quad T_3] \quad (23)$$

که  $T_1 = \rho I$  می‌باشد.  $\rho$  یک اسکالر واحد می‌باشد و  $I$  ماتریس واحد با مرتبه  $n$  می‌باشد.

با جایگزین کردن معادله (22) در معادله دینامیکی (11) و تعريف عبارت (24) ماتریس  $K(\eta)$  داریم:

$$M_\eta T \hat{x} + C_\eta(\eta) T \hat{x} = u + \omega \quad (24)$$

عبارت (24) معادله دینامیکی خطای سیستم را نشان می‌دهد.

برای اعمال نتایج تئوری (24) به صورت فرم استاندارد مسئله کنترل  $H_{\infty}$  غیر خطی داریم:

$$\dot{x} = f(x) + g_1(x)\omega + g_2(x)u \quad (25)$$

$$f(\hat{x}, t) = T_0^{-1} \begin{bmatrix} M_\eta^{-1} C & 0 & 0 \\ T_1^{-1} & I - T_1^{-1} T_2 & -I + T_1^{-1} (T_2 - T_3) \\ 0 & I & -I \end{bmatrix} T_0 \quad (26)$$

$$g(\hat{x}, t) = k(\hat{x}, t) = T_0^{-1} \begin{bmatrix} M_\eta^{-1} \\ 0 \\ 0 \end{bmatrix} \quad (27)$$

$$T_0 = \begin{bmatrix} T_1 & T_2 & T_3 \\ 0 & I & I \\ 0 & 0 & I \end{bmatrix} \quad \text{که } T_0 \text{ می‌باشد.}$$

قانون کنترلی  $(\hat{x}, t)$  به نحوی بدست آید که نرخ بین انرژی متغیر هزینه  $W$  و انرژی سیگنال اغتشاش  $d$  کمتر از ظریب  $\gamma$  باشد. با توجه به تعريف از خطاب  $\hat{x}$  و تعريف مقادیر متغیر هزینه  $\gamma$  ساختارهای زیر برای ماتریس  $Q$  و  $S$  به صورت زیر در نظر گرفته می‌شود:

$$Q = \begin{bmatrix} Q_1 & Q_{12} & Q_{13} \\ Q_{12} & Q_2 & Q_{23} \\ Q_{13} & Q_{23} & Q_3 \end{bmatrix}, \quad S = \begin{bmatrix} S_1 \\ S_2 \\ S_3 \end{bmatrix}$$

همانطور که در بخش قبل عنوان شد، جواب معادله HJB می‌باشد. انتخاب متغیر هزینه  $\gamma$  و به ویژه انتخاب تابع  $h(x)$  در این پژوهش، این تابع بردار خطای  $\hat{x}$  در نظر گرفته شده است، پس از انتخاب این تابع، برای محاسبه قانون کنترل  $u$  نیاز به پیدا کردن تابع لیپاونوف  $V(x, \hat{x}, t)$  در معادله HJ در معادله (18) است. جزئیات رسیدن به این راه حل در [21] ملاحظه است. تابع لیپاونوف  $V(\hat{x}, t)$  را به صورت معادله (28) در نظر بگیریم:

$$V(x, t) = \frac{1}{2} x^T T_0^{-1} \begin{bmatrix} M_\eta & 0 & 0 \\ 0 & Y & X - Y \\ 0 & X - Y & Z + Y \end{bmatrix} T_0 x \quad (28)$$

که  $X$  و  $Y$  و  $Z \in \mathbb{R}^{n \times n}$  درایه‌های مثبت و ثابت هستند که  $M_\eta$  و  $Z - XY^{-1}X + 2X > 0$  ماتریس اینرسی کشتی هوایی می‌باشد. با جایگزینی تابع لیپاونوف (28) در معادله (17) جواب معادله همیلتون-ژاکوبی-بلمن-ایزاک به صورت زیر قابل بیان است:

$$\begin{bmatrix} M_\eta & Y & X \\ Y & 2X & Z + 2X \\ X & Z + 2X & 0 \end{bmatrix} + Q + \frac{1}{\gamma^2} T^T T - (S^T + T) R^{-1} (S^T + T) = 0 \quad (29)$$

جواب مقادیر ثابت معادله (29) به همراه درایه‌های  $T$  با استفاده از معادله ریکاتی بدست می‌آید. اثبات تابع لیپاونوف و محاسبه درایه‌های  $T$  و تئوری کنترل غیر خطی  $H_{\infty}$  به صورت کامل در [19] آورده شده است.

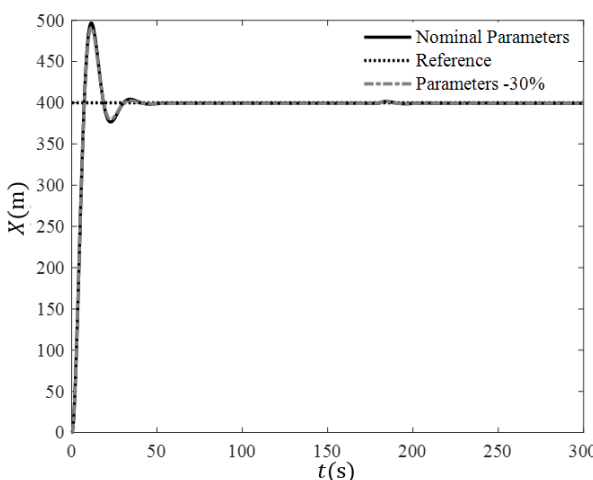
با محاسبه ماتریس  $T$  و جایگزینی  $V(\hat{x}, t)$  در معادله (19) قانون کنترل بهینه  $H_{\infty}$  به صورت زیر به ازای پارامتر  $\gamma$  به صورت رابطه (30) بدست می‌آید

$$u^* = -R^{-1}(S^T + T)\hat{x} \quad (30)$$

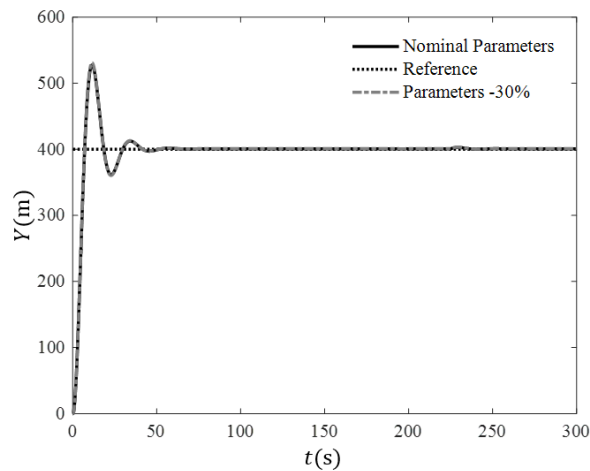
سپس با جایگزینی معادله (30) در معادله (22) و اعمال ساده سازی، قانون کنترلی به صورت (31) نوشته می‌شود:

$$\tau_{\eta_a}^* = M_\eta \ddot{\eta}^a + C_\eta(V) \dot{\eta} - J(\eta) \left( K_D \ddot{\eta} + K_P \dot{\eta} - K_I \int \dot{\eta} dt \right) \quad (31)$$

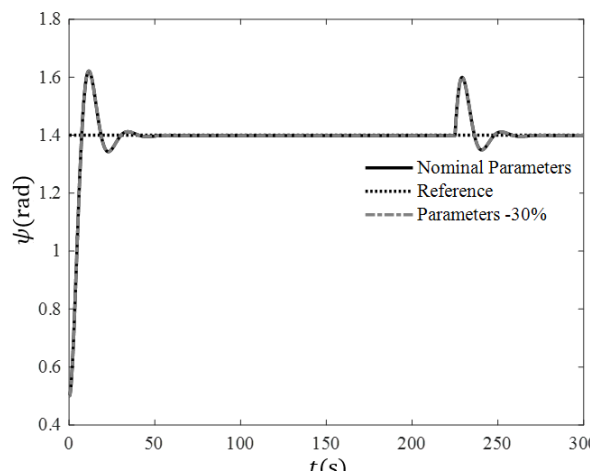
<sup>1</sup> Proportional–Integral–Derivative(PID)



**Fig. 4** Position  $X$  with external disturbance and uncertainty  
شکل 4 موقعیت  $X$  با وجود اغتشاش خارجی و نامعینی



**Fig. 5** Position  $Y$  with external disturbance and uncertainty  
شکل 5 موقعیت  $Y$  با وجود اغتشاش خارجی و نامعینی



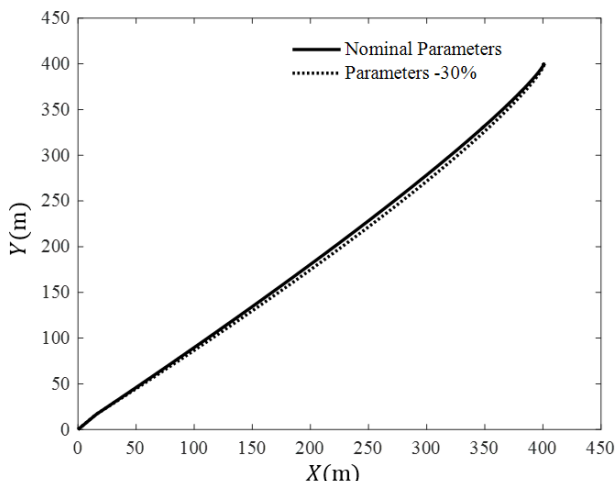
**Fig. 6** Orientation  $\psi$  with external disturbance and uncertainty  
شکل 6 زاویه  $\psi$  با وجود اغتشاش خارجی و نامعینی

شکل 7 تا 9 نیز خطاهای موقعیت مرجع را نشان می‌دهند. قابل مشاهده است که در هر سه شکل خطای ریدیابی در کمتر از 50 ثانیه به صفر همگرا شده است. در زمان اعمال اغتشاش نیز سیستم کنترل به دلیل استفاده از کنترل

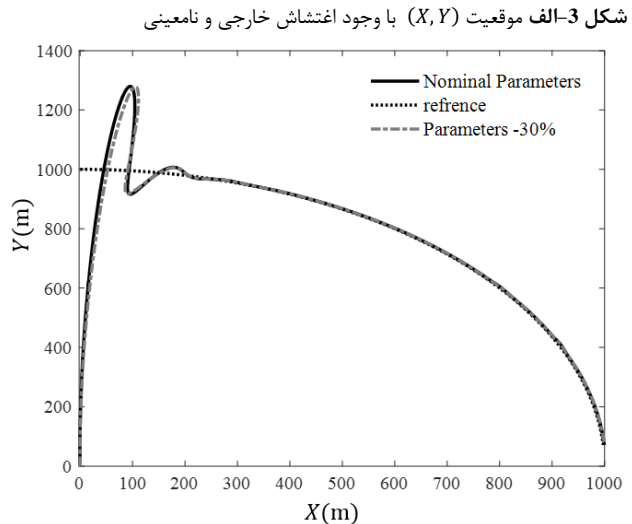
جدول 1 مقادیر پارامترها برای شبیه سازی کشتی هوایی استراتوسفری [11]

| پارامتر | مقدار     | واحد                  |
|---------|-----------|-----------------------|
| $m$     | 239       | kg                    |
| $X_u$   | -4.235    | kg                    |
| $Y_v$   | -21.668   | kg                    |
| $N_r$   | -3.423    | Nms <sup>2</sup> /rad |
| $X_u$   | -80       | kg                    |
| $Y_v$   | -55       | kg                    |
| $N_r$   | -55       | Nms <sup>2</sup> /rad |
| $I_z$   | 12826.753 | Nms <sup>2</sup> /rad |

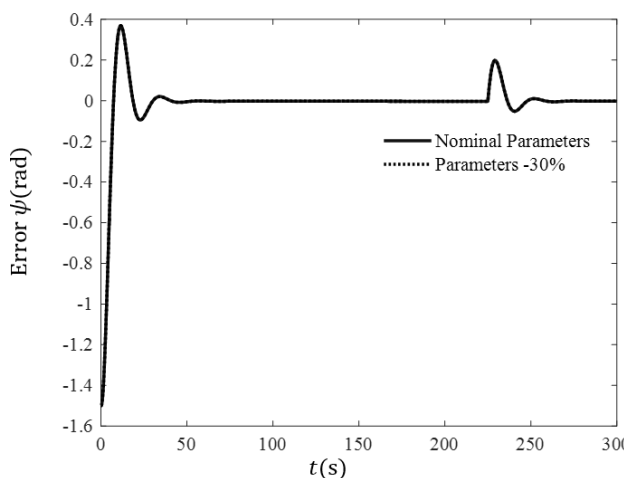
ارتفاع 22 کیلومتری ثابت فرض شده است. در شکل 3 نمودار  $Y$  بر حسب  $X$  رسم شده است. این نمودار نشان می‌دهد که حفظ موقعیت و ریدیابی مسیر در مسیر مرجع مشخص شده با وجود اعمال اغتشاش خارجی و نامعینی به خوبی صورت پذیرفته است. در شکل 4 تا 6 به ترتیب موقعیت  $X$ ,  $Y$  و زاویه  $\psi$  ترسیم شده است. قابل مشاهده است که هر سه نمودار مزبور پس از یک پراجهش به مقدار مرجع خود در کمتر از 50 ثانیه همگرا شده‌اند.



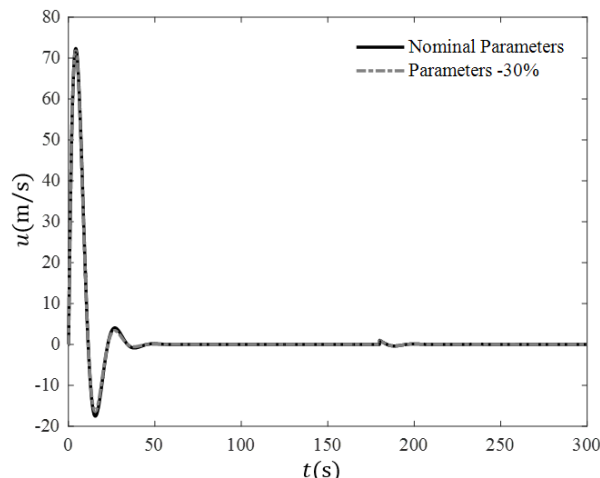
**Fig.3.a** Position ( $X$ ,  $Y$ ) and path tracking with external disturbance and uncertainty  
شکل 3-الف موقعیت ( $X$ ,  $Y$ ) با وجود اغتشاش خارجی و نامعینی



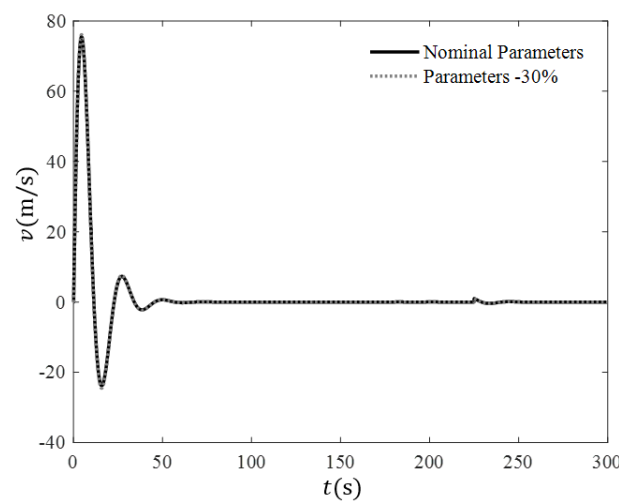
**Fig.3.b** Path tracking with external disturbance and uncertainty  
شکل 3-ب ریدیابی مسیر با وجود اغتشاش خارجی و نامعینی



**Fig. 9** Error  $\psi$  with external disturbance and uncertainty  
شکل 9 خطای موقعیت  $\psi$  با وجود اغتشاش خارجی و نامعینی



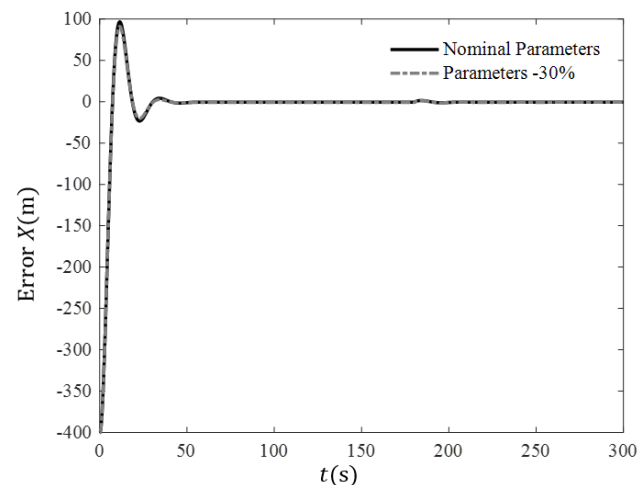
**Fig. 10** Velocity  $u$  with external disturbance and uncertainty  
شکل 10 سرعت خطی  $u$  با وجود اغتشاش خارجی و نامعینی



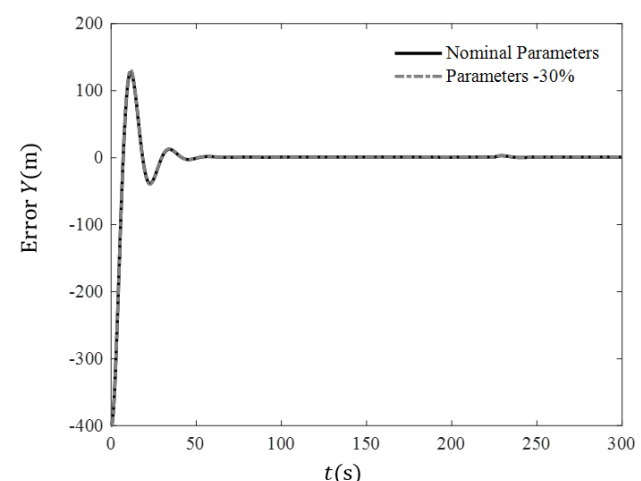
**Fig. 11** Velocity  $v$  with external disturbance and uncertainty  
شکل 11 سرعت خطی  $v$  با وجود اغتشاش خارجی و نامعینی

مقاوم به خوبی آن را در کنترل مانده است. شکل 10 تا 12 نیز سرعت خطی و زاویهای کشتی هواپی استراتوسفری را نشان می‌دهد. بیشنه سرعت خطی در راستای  $u$  به مقدار 72 متر بر ثانیه می‌رسد، در راستای  $v$  به مقدار 0.27 متر بر ثانیه می‌رسد. در نهایت این مقدار در راستای  $r$  به مقدار 0.275 متر بر ثانیه می‌رسد. در لحظه اینکه مسیر نظر هموار بوده بالاصله رادیان بر ثانیه می‌رسد و به لحاظ اینکه مسیر هموار بوده کنترلی را در به مقدار صفر همگرا می‌شود. شکل 13 تا 15 نیز ورودی‌های کنترلی را در وجود اغتشاش خارجی و نامعینی نشان می‌دهند. بیشنه مقدار نیرو در  $\tau_u$  به مقدار  $4 \times 10^5 \text{ N}$  و بیشنه گشتاور نیز به مقدار  $8 \times 10^4 \text{ N.m}$  در ابتدای مسیر می‌رسد و بالاصله به صفر همگرا می‌شود.

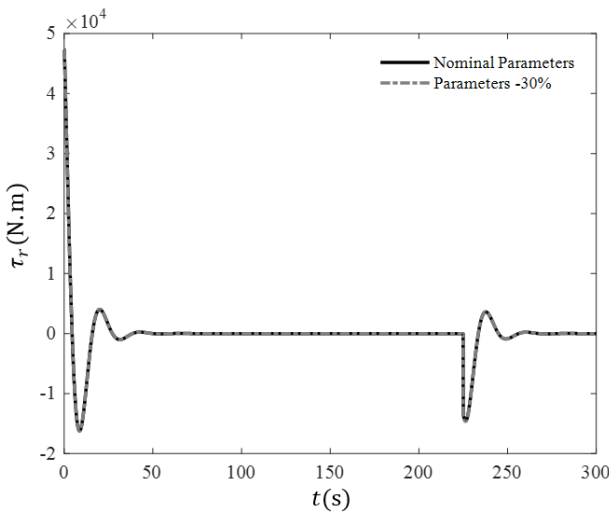
**4-2- بررسی اثرات تغییر پارامترهای اینرسی در سیستم حلقه بسته**  
در این بخش تأمل بیشتری در بحث تاثیرپذیری کنترلر در برابر نامعینی‌های متنوع شده است. ابتدا در نمودارهای 16 تا 17 تغییر پارامترها به ازای تغییر 35% در جرم و همزنمان تغییر 30%- در پارامتر جرم افزوده  $X_u$  انجام گرفته است. همچنین در شکل 18 تغییر ممان اینرسی  $N_r$  30% و +30% انجام شده است. نقاط مشترک این نامعینی‌ها تاثیر ناچیز در ردیابی و پایدارسازی می‌باشد، اما این تغییرات در ورودی‌های کنترلی کاملاً محسوس



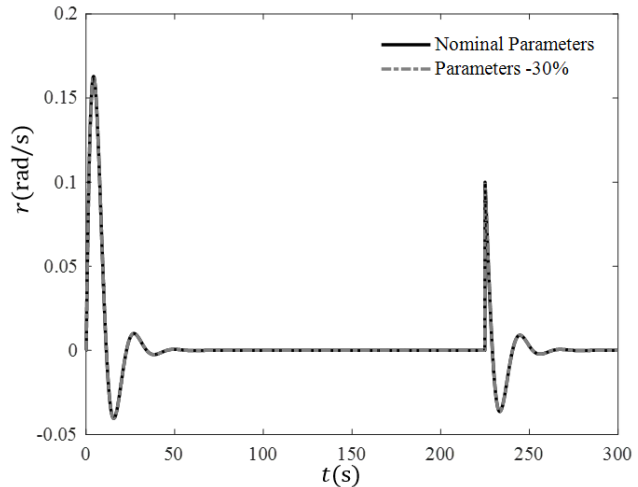
**Fig. 7** Error  $X$  with external disturbance and uncertainty  
شکل 7 خطای موقعیت  $X$  با وجود اغتشاش خارجی و نامعینی



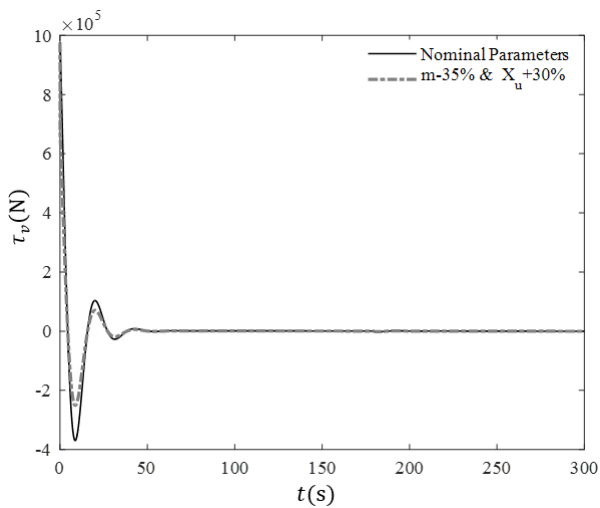
**Fig. 8** Error  $Y$  with external disturbance and uncertainty  
شکل 8 خطای موقعیت  $Y$  با وجود اغتشاش خارجی و نامعینی



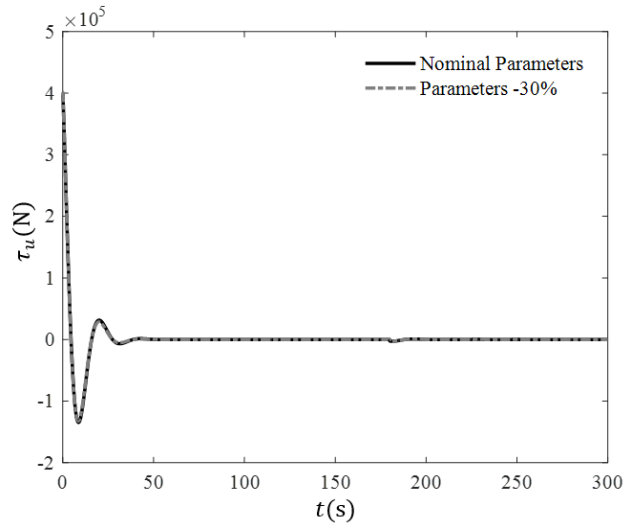
شکل ۱۵ ورودی کنترلی  $\tau_r$  با وجود اغتشاش خارجی و نامعینی



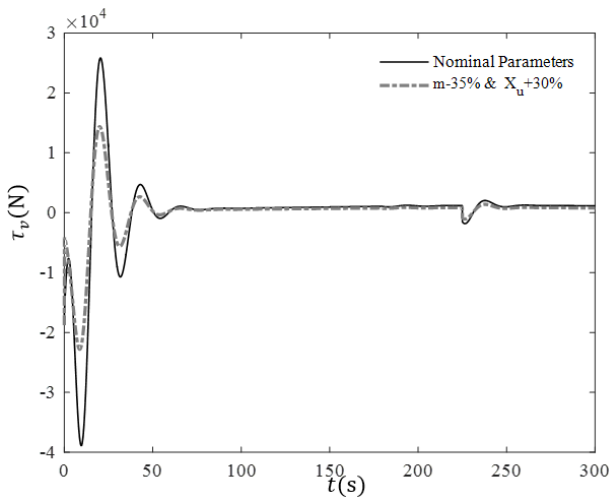
شکل ۱۲ سرعت زاویه ای  $r$  با وجود اغتشاش خارجی و نامعینی



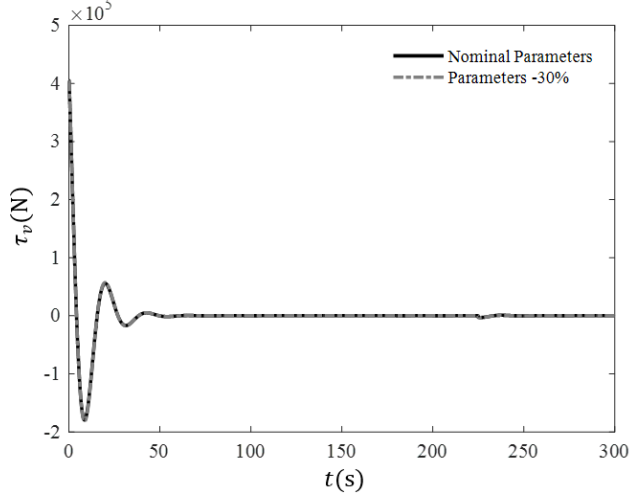
شکل ۱۶ ورودی کنترلی  $\tau_u$  به ازای نامعینی مختلف



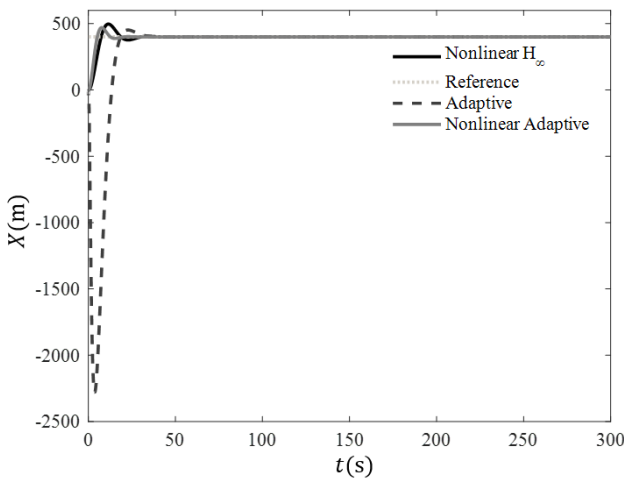
شکل ۱۳ ورودی کنترلی  $\tau_u$  با وجود اغتشاش خارجی و نامعینی



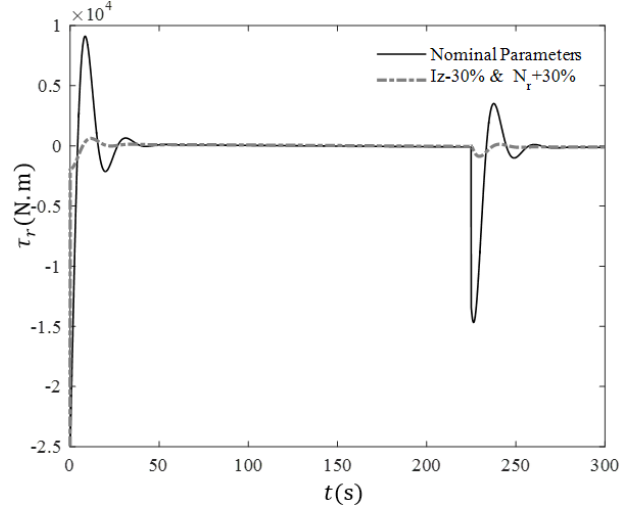
شکل ۱۷ ورودی کنترلی  $\tau_v$  به ازای نامعینی مختلف



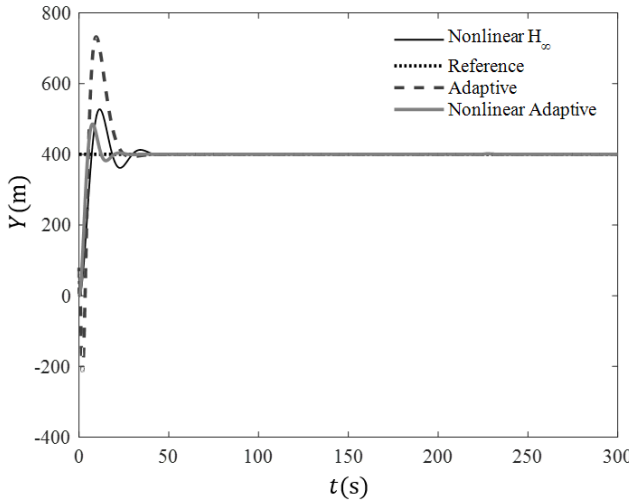
شکل ۱۴ ورودی کنترلی  $\tau_v$  با وجود اغتشاش خارجی و نامعینی



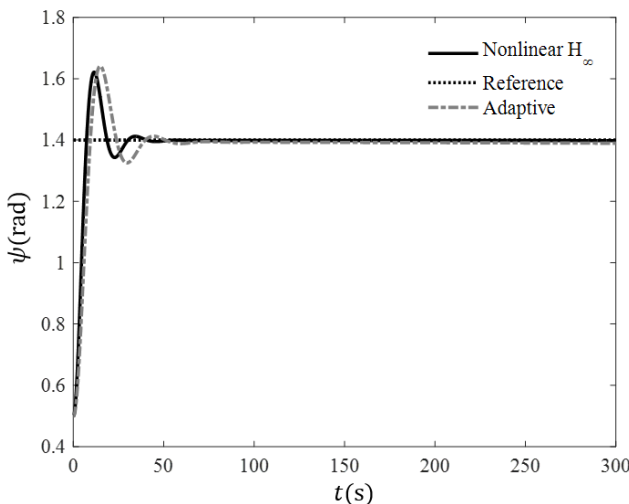
شکل 19 مقایسه موقعیت  $X$  در کنترل مقاوم و تطبیقی



شکل 18 ورودی کنترلی  $\tau_r$  به ازای نامعینی مختلف



شکل 20 مقایسه موقعیت  $Y$  در کنترل مقاوم و تطبیقی



شکل 21 مقایسه موقعیت  $\psi$  در کنترل مقاوم و تطبیقی

است. به این صورت که در تغییر جرم به صورت مستقیم در ورودی کنترلی  $\tau_u$  و  $\tau_v$  تاثیر گذاشته است و تغییر ممان اینرسی در راستای ارتفاع در ورودی کنترلی  $\tau_r$  نشان داده است.

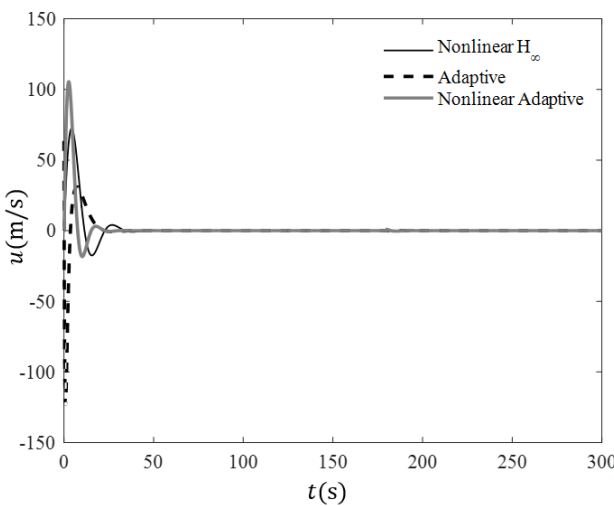
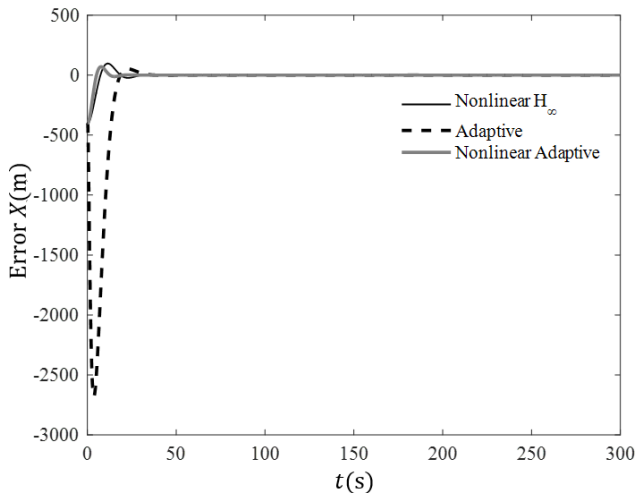
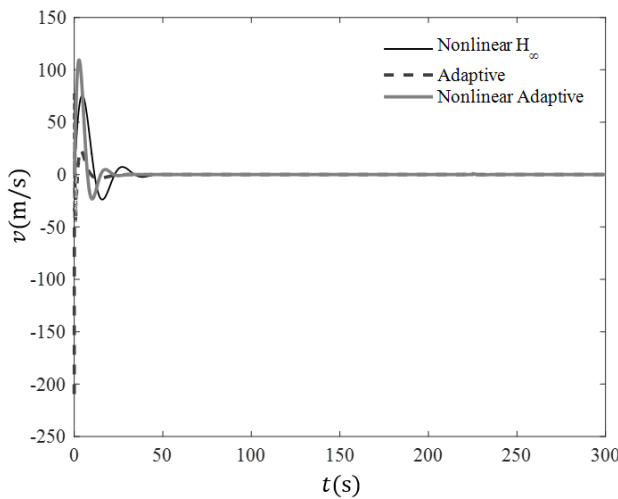
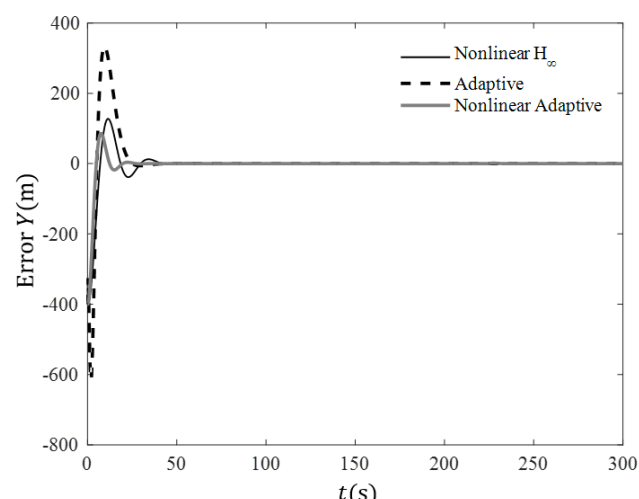
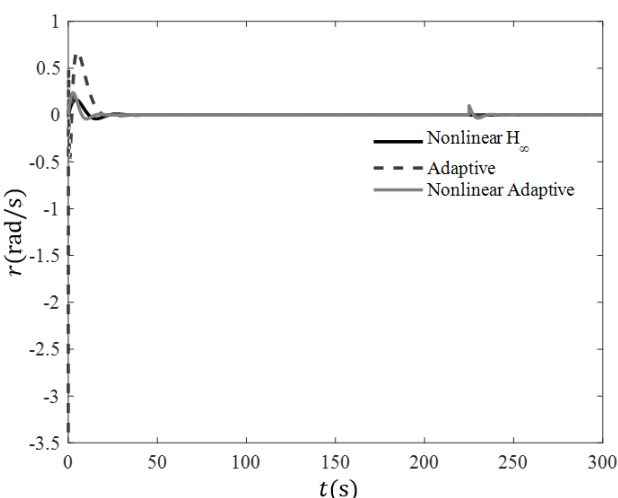
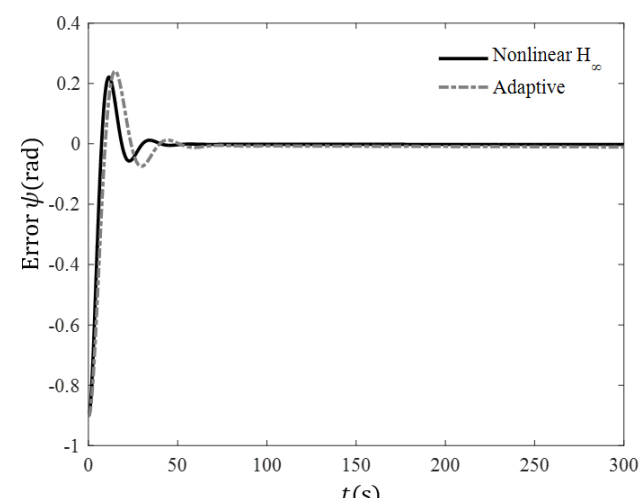
#### 4-3-اعتبار سنجی و مقایسه الگوریتم کنترلی پیشنهادی

در این بخش به منظور بررسی و ارزیابی عملکرد سیستم کنترلی طراحی شده با سایر رویکردها، مقایسه‌ای در شبیه‌سازی این روش با الگوریتم پیشنهادی کنترل تطبیقی بر اساس مفهوم پایداری ورودی و خروجی ارائه شده در مقاله [6] و رویکرد کنترل غیر خطی تطبیقی برای ردیابی مسیر برای کشتی هوایی شش درجه آزادی در [7] ارائه شده است که در این مقاله با استفاده از قاعده پایداری لیپانوف نشان داده است که خطای ردیابی مسیر به صفر همگرا شده است. شایان ذکر است همه پارامترهای فیزیکی برای دو روش فوق یکسان فرض شده است.

در شکل 19 تا 21 موقعیت و جهت‌گیری در سه کنترلر مقاوم، تطبیقی و غیر خطی تطبیقی نشان داده شده است. کاملاً واضح است که عملکرد کنترل غیر خطی تطبیقی و مقاوم در فرجهش و همگرایی به مقادیر مرجع قابل قبول تر می‌باشد. در شکل 22 تا 24 نیز خطای ردیابی موقعیت و جهت گیری آورده شده است. بلافتاصله خطای ردیابی این دو کنترلر به صفر رسیده است. همچنان در شکل 25 تا 27 سرعت خطی و سرعت زاویه‌ای در دو کنترل مقاوم و تطبیقی ارائه شده است. قابل ذکر است عملکرد کنترل مقاوم  $H_{\infty}$  نسبت به کنترل تطبیقی بهتر می‌باشد ولی بواسطه بروز رسانی دقیق ولحظه‌ای پارامترها، کنترل غیر خطی تطبیقی عملکرد بهتری نسبت به دو رویکرد دیگر دارد.

#### 5-نتیجه گیری

در این مقاله با توجه به دینامیک غیر خطی کشتی هوایی استراتوسفری، معادلات دینامیک بر مبنای حفظ موقعیت در ارتفاع 22 کیلومتری استخراج شده است. از تئوری کنترل مقاوم  $H_{\infty}$  غیرخطی به منظور پایدارسازی و ردیابی مسیر مرجع استفاده شده است. به دلیل حل تحلیلی معادله همیلتون ژاکوبی با استفاده از تئوری بازی عملکرد سیستم در ردیابی و حفظ موقعیت با روش مذکور در حضور اغتشاش خارجی، قابل قبول بود. همچنان اغتشاش خارجی به عنوان نیرو و گشتاور آبرودینامیکی از قبیل باد در نظر گرفته شده

**Fig. 25** Compare  $u$  in robust and adaptive controlشکل 25 مقایسه سرعت خطی  $u$  در کنترل مقاوم و تطبیقی**Fig. 22** Compare error  $X$  in robust and adaptive controlشکل 22 مقایسه خطای موقعیت  $X$  در کنترل مقاوم و تطبیقی**Fig. 26** Compare  $v$  in robust and adaptive controlشکل 26 مقایسه سرعت خطی  $v$  در کنترل مقاوم و تطبیقی**Fig. 23** Compare error  $Y$  in robust and adaptive controlشکل 23 مقایسه خطای موقعیت  $Y$  در کنترل مقاوم و تطبیقی**Fig. 27** Compare  $r$  in robust and adaptive controlشکل 27 مقایسه سرعت زاویه ای  $r$  در کنترل مقاوم و تطبیقی**Fig. 24** Compare error  $\psi$  in robust and adaptive controlشکل 24 مقایسه خطای موقعیت  $\psi$  در کنترل مقاوم و تطبیقی

- [10] J. R. Azinheira, A. Moutinho, E. C. De Paiva, Airship hover stabilization using a backstepping control approach, *Journal of guidance, control, and dynamics*, Vol. 29, No. 2, pp. 903-914, 2006.
- [11] Y. Yang, J. Wu, W. Zheng, Station-keeping control for a stratospheric airship platform via fuzzy adaptive backstepping approach, *Advances in Space Research*, Vol. 51, No. 1, pp. 1157-1167, 2013.
- [12] Y.-y. Wang, Q.-b. Wang, P.-f. Zhou, D.-p. Duan, Robust  $H_{\infty}$  directional control for a sampled-data autonomous airship, *Journal of Central South University*, Vol. 21 No. 2, pp. 1339-1346, 2014.
- [13] I. Masar, E. Stöhr, Gain-scheduled LQR-control for an autonomous airship, *18th International Conference on Process Control*, Tatranská Lomnica, Slovakia, June 14-17, 2011.
- [14] Y. Yang, J. Wu, W. Zheng, Station-keeping attitude control for an autonomous airship using feedback linearization and fuzzy sliding mode control, *International Journal of Innovative Computing, Information and Control*, Vol. 8, No.2, pp. 1-11, 2012.
- [15] Parsa, A. Kalhor, M. A. Amiri Atashgah, Backstepping control performance enhancement using close loop identification for quadrotor trajectory tracking, *Modares Mechanical Engineering*, Vol. 16, No.11, pp. 224-234, 2016 (in Persian) فارسی
- [16] L. Sangjong, H. Lee, W. Daeyeon, B. Hyochoong, Backstepping approach of trajectory tracking control for the mid-altitude unmanned airship, *AIAA Guidance, Navigation Control Conference and Exhibit*, Hilton Head, South Carolina, August, pp. 1-14, 2007.
- [17] Z. Cai, W. Qu, Y. Xi, Y. Wang, Stabilization of an underactuated bottom-heavy airship via interconnection and damping assignment, *International Journal of Robust and Nonlinear Control*, Vol. 17, No. 2, pp. 1690-1715, 2007.
- [18] Y. Zhang, Q. Wei-Dong, X. Yu-Geng, C. Zi-Li, Adaptive stabilization and trajectory tracking of airship with neutral buoyancy, *Acta Automatica Sinica*, Vol. 34, No. 1, pp. 1437-1441, 2008.
- [19] Y. Yang, J. Wu, W. Zheng, Trajectory tracking for an autonomous airship using fuzzy adaptive sliding mode control, *Journal of Zhejiang University SCIENCE*, Vol. 13, No. 22, pp. 534-543, 2012.
- [20] A. J. Van der Schaft, L<sub>2</sub>-gain analysis of nonlinear systems and nonlinear state-feedback  $H_{\infty}$  control, *IEEE Transactions on Automatic Control*, Vol. 37, No. 6, pp. 770-784, 1992.
- [21] M. G. Ortega, M. Vargas, C. Vivas, F. R. Rubio, Robustness improvement of a nonlinear  $H_{\infty}$  controller for robot manipulators via saturation functions, *Journal of Robotic Systems*, Vol. 22, No. 1, pp. 421-437, 2005.
- [22] S. Borji Monfared, A. Kalhor, M. Amiri Atashgah, Robust Nonlinear  $H_{\infty}$  and MPC Control for Path Tracking of a Quadrotor through Estimation of System Parameters, *Modares Mechanical Engineering*, Vol. 16, No. 7, pp. 32-42, 2016. (in Persian) فارسی

است. به منظور ارزیابی عملکرد سیستم کنترلی نامعینی‌های مختلفی در پارامترهای اینرسی و جرم در نظر گرفته و به سیستم اعمال شد و به این ترتیب نشان داده شد که عملکرد سیستم کنترلی و ریدیابی مرجع با وجود اغتشاش خارجی و نامعینی قابل قبول بود. همچنین با مقایسه‌ای که بین الگوریتم طراحی شده با رویکرد کنترل تطبیقی و غیر خطی تطبیقی انجام شد، عملکرد سیستم کنترلی مقاوم در ریدیابی مسیر و رد اغتشاش خارجی بهتر بوده است. نتایج حاصل از نمودارها نشان از صفر شدن خطای حالت و همچنین پایداری کشتی هوایی در لایه استراتوسفری در حضور نامعینی پارامتری و اغتشاش خارجی داشت.

## 6- مراجع

- [1] Chu, M. Blackmore, R. G. Ohlendorf, J. V. Welch, G. Baird, D. P. Cadogan, et al., Novel concept for stratospheric communications and surveillance: star light, *AIAA Balloon Systems Conference*, Williamsburg, VA, May 1-9, 2007.
- [2] S. Smith, M. Fortenberry, M. Lee, R. Judy, Hi Sentine 180 :flight of a high altitude airship, *11th AIAA Aviation Technology, Integration, and Operations (ATIO) Conference*, Virginia Beach, VA, September 21-28, 2011.
- [3] Nagabhushan, N. Tomlinson, Dynamics and control of a heavy lift airship hovering in a turbulent cross wind, *Journal of Aircraft*, Vol. 19, No. 2, pp. 826-830, 1982.
- [4] S. van der Zwaan, A. Bernardino, J. Santos-Victor, Vision based station keeping and docking for an aerial blimp, *International Conference on Intelligent Robots and Systems IEEE/RSJ*, Takamatsu, Japan, October, pp. 614-619, 2000.
- [5] Schmidt, D.K. Modeling, near-space station-keeping control of a large high-altitude airship, *Journal of Guidance, Control, and Dynamics*, Vol. 22, No. 2, pp.540-547, 2007.
- [6] Y. Wu, M. Zhu, Z. Zuo, Z. Zheng, Adaptive trajectory tracking of stratospheric airship based on input-output stability theory, *Fourth International Symposium on Computational Intelligence and Design (ISCID)*, Hangzhou, October, pp. 301-305, 2011.
- [7] L. Sun, Z. Zheng, Nonlinear adaptive trajectory tracking control for a stratospheric airship with parametric uncertainty, *Journal of Nonlinear Dynamics*, Vol. 82, No. 2, pp. 1419-1430, 2015.
- [8] B.Miripour Farad, P.Abdollahzadeh, Adaptive and robust control of a stratospheric airship, *Modares Mechanical Engineering*, Vol.16, No. 2, pp.111-119, 2016 (in Persian) فارسی
- [9] E. C. De Paiva, F. Benjovengo, S. S. Bueno, Sliding mode control for the path following of an unmanned airship, *IFAC Proceedings Volumes*, Vol. 40, No. 1, pp. 221-226, 2007.